

## II-135 水を伴う砂れき流の流動特性

大阪府立工業高等専門学校 正員 大同淳之  
同 上 正員 坂本吉一

### 1. はしがき

ある限界こう配以上のこう配をもつ堆積物上に水が流れたとき、集合流動が生ずることは、すでに指摘したところである。その限界こう配は、水流によるせん断力の深さ方向の変化率が、堆積物のせん断抵抗の深さ方向の変化率と上回るときであるといふ考え方で求められた。<sup>1)</sup> この限界こう配は、無限の深さにわたって流動することを保証するものであるが、実際には、それより緩るいこう配で、流動深さは有限であるが、その深さが堆積物の粒径の数倍および、十分集合流動の範囲内に属する流れが生ずる。実際の現象を対象とするときは、無限の深さの流動より後者の流れのほうが発生頻度が高く、その流動深さおよび流動特性を知ることがより重要とえられる。本文はこの流動深さに着目と加えて実験値との比較を試み、このときの流動特性および抵抗則について付け加えたものである。

### 2. 水を伴う砂れき流れの流動系

比較的粗い一樣な砂れきを用いた実験で観察される現象は、図1に示すように3層に分れる。Ⅰ層は水流のみの部分で、こう配がゆるいときには比較的大きいが、こう配が急になると、粒径1/2分またはそれ以下になる。Ⅱ層は砂れきの流動層で、砂れきの濃度は、目測では未流動層に等しいが、最充填濃度では流動が困難であるから、それよりざくわすく空隙のある、せん断可能な最高濃度とえられる。Ⅲ層は未流動層である。この実験では全ての場合、堆積物の表面まで添え流があり、でも流動は起らないので、長大斜面としての安定条件  $\tan \theta = (1/\rho_e) \tan \phi$

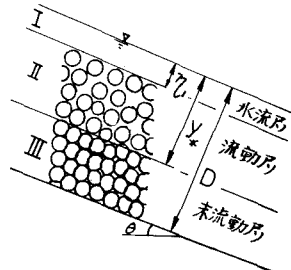


図1 流動の模式図

ここに  $\rho_e$  は砂れきの水中单位重量、  $\rho$  は砂れき体の飽和单位重量、  $\phi$  は摩擦角。よりもこう配  $\theta$  は小さい。したがって流動を生ずるために、表面流のせん断力、水流から砂れきに及ぼす流体力および流動が流れ方向に一棵でないとき既流動部と未流動部と押す力などが寄与しているものと考えられる。このうち最後のものは、定常とみなされるとこでは考えられないが、ここでは表面流によるせん断力と砂れきの及ぼす流体力の寄与について考えることにする。

水面より  $\gamma_1$  の位置における  $\sigma$  より  $\sigma_1$  は、

$$\sigma_1 = \rho g \sin \theta \gamma_1, \quad \sigma_1 = \rho g \cos \theta \gamma_1 \quad (1)$$

である。Ⅱ層内では、個々の粒子は粗充填とはいい、互に接触し、それらの力は流動層下面に伝えられるとすると、砂れきの応力の釣合いは、 $x$  方向の流体の速度を  $u$ 、 $y$  方向の速度を  $v$  (下向きと正) として、

$$\frac{\partial \sigma_{2x}}{\partial x} + \frac{\partial \sigma_{2xy}}{\partial y} = \{(1-\lambda)(\sigma - \rho g \cos \theta)\} g \sin \theta + \rho g (1-\lambda) \frac{u}{k} \quad (2)$$

$$\frac{\partial \sigma_{2y}}{\partial y} + \frac{\partial \sigma_{2xy}}{\partial x} = \{(1-\lambda)(\sigma - \rho g \cos \theta)\} g \cos \theta + \rho g (1-\lambda) \frac{v}{k} \quad (3)$$

である。ここに右辺の  $k$  項はそれぞれ砂れきに作用する流体力のうち静圧を除いた力を表わし、  $k$  は速度の次元ともいふ抵抗係数とする。  $x$  方向に諸量の変化がないとき、

$$\sigma_{2xy} = (1-\lambda) \{(\sigma - \rho g \cos \theta) g \sin \theta + \rho g \frac{u}{k}\} (\gamma - \gamma_1) \quad (3) \quad \sigma_{2y} = (1-\lambda) \{(\sigma - \rho g \cos \theta) g \cos \theta + \rho g \frac{v}{k}\} (\gamma - \gamma_1) \quad (4)$$

表面に平行な面で流動の境界が生ずる条件は、有効応力を  $\overline{\sigma}$ 、まつ角を  $C$  として、

$$\bar{\sigma}_{xy} > \bar{\sigma}_{xy} \tan \phi + C = (\bar{\sigma}_{xy} + H) \tan \phi, \quad H = C \cot \phi \quad (5)$$

であるから、(3), (4)式と代入すると、 $\bar{\sigma}_y = Y_w, (\sigma - p \cos \theta)g = \bar{\sigma}_c, \sigma g = \gamma_s$ として、

$$(\bar{\sigma}_{xy} \sin \theta (y - \bar{z}_1) + Y_w \sin \theta \bar{z}_1 + (1-\lambda) \{ \bar{\sigma}_c \sin \theta + \bar{\sigma}_a (U/K) \} (y - \bar{z}_1)) > [(1-\lambda) \{ \bar{\sigma}_c \cos \theta + \bar{\sigma}_a (U/K) \} (y - \bar{z}_1) + H] \tan \phi$$

ここで、(5)式の限界条件のなりたつ深さ $y_*$ は、

$$\frac{Y_w}{D} = \frac{\bar{z}_1}{D} \left\{ 1 + \frac{\frac{Y_w}{\bar{z}_1} \lambda \sin \theta + H_* \tan \phi}{\left\{ \frac{\bar{z}_1}{\bar{z}_1} (1-\lambda) + \frac{Y_w}{\bar{z}_1} K \frac{\cos \psi}{\cos \theta} \right\} \tan \phi - \frac{Y_w}{\bar{z}_1} \tan \theta - \frac{Y_w}{\bar{z}_1} K \frac{\sin \psi}{\cos \theta}} \right\} \quad (6)$$

となる。ここに $D$ は全堆積の厚さ、 $H_* = H/D, K = \sqrt{U^2 + U^2}/K, \cos \psi = U/\sqrt{U^2 + U^2}$

$\sin \psi = U/\sqrt{U^2 + U^2}$ である。右辺第2項の分母がゼロに近づくと、流動層の厚さが急に増すことを示す。(6)式を $H_* = (C) = 0, \cos \psi = 0, \sin \psi = 0 (U=0)$ ,

$K$ は $U$ が表面速度に近いとき、 $U/K$ がこう配 $\theta$ となることから $K = \sin \theta$ 、す

なわち最も流動しにくいう条件で計算した結果を図2に示す。図にまとつ角が $37^\circ$ ~ $38^\circ$ と測定された直径14.3mmの砂れきにおけるI層とII層の深さの比を示すが、ほぼ一致する。またこの式は、図3に示されるように、集合流動を起す限界こう配が、表面流の大きさが増すと小さくなる事実とも説明しうる。比較的粗い粒子のまとつ角の測定ははずしも良い精度ではないため、式の適合はより検討する必要があるが(6)式は流動層の厚さを表現するようである。なお(6)式は、 $C = \bar{z}_1 = 0$ のとき限界条件は、

$$\tan \theta = \tan \phi \cdot \frac{\bar{z}_1}{\bar{z}_1} \left\{ (1-\lambda) + \frac{Y_w}{\bar{z}_1} K \frac{\cos \psi}{\cos \theta} \right\} - \frac{(1-\lambda) K \frac{\sin \psi}{\cos \theta}}{\frac{Y_w}{\bar{z}_1} (1-\lambda) + \lambda} \quad (7)$$

となって、深さに無関係になる。もちろんこの場合の限界こう配は、 $\gamma_s$ のときより大きいこう配となる。

### 3. 水と伴う砂れき流の流動特性

したがて、著者が従来報告してきた水と伴う砂れき流の流動速度は、このようにある境界から上の部分が流動する場合のものである。その結果は図4にまとめたように、

$$U/U_* = \alpha(h/d)^B \quad (8)$$

$\alpha$ 形で表現され、粒径が同じときには、流動の条件が変化しても、 $\alpha, B$ は同じ値となる。しかも図4の下に示したように混合粒径の場合でも同じ値を示す。またこの流れの平均流速は

$$U_m/U_* = (4/15)(K \sin \alpha)^{-1/2} P^{1/2} (h/d) \quad (9)$$

$$P = \frac{f + \sigma - p(1 + \cos \theta)}{\sigma} \left\{ \left( \frac{C_*}{C} \right)^{1/2} - 1 \right\}^2$$

と流動層厚の1乗に比例する。したがって抵抗係数は、

$$1/f_* = (1/12) \frac{4}{15} \left( \frac{1}{K \sin \alpha} \right)^{1/2} P^{1/2} (h/d) \quad (10)$$

として表現される。今後諸係数をさらに測定してより正確なものにする必要があるが、これについてはつきの機会に報告する予定である。

参考文献、1)大同淳之：急こう配上の多量の砂れきを含む流れの流動特性、第18回水理講演会講演集 B49.2

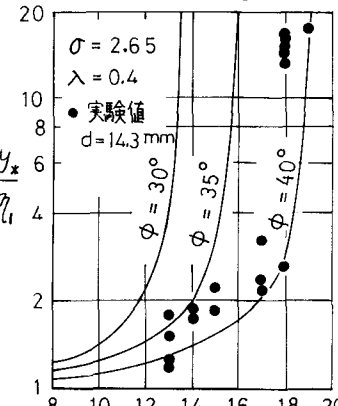


図2. 表面流の水深 $y_*$ と流動層厚 $y_*$ の関係

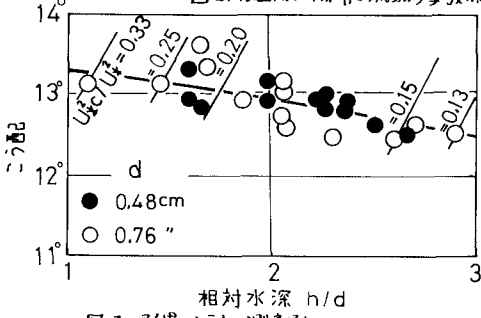


図3. 限界こう配の測定割

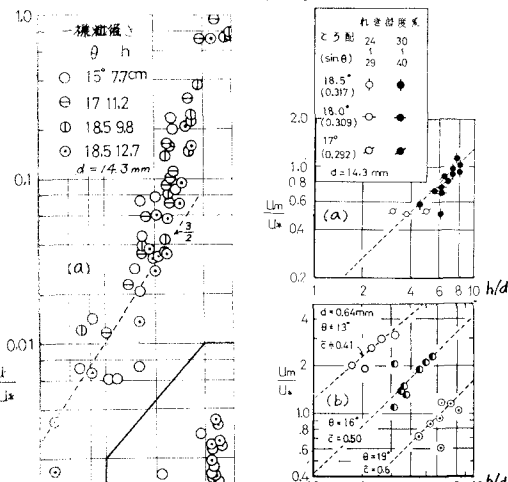


図4. 砂れき流の平均流速(再認)

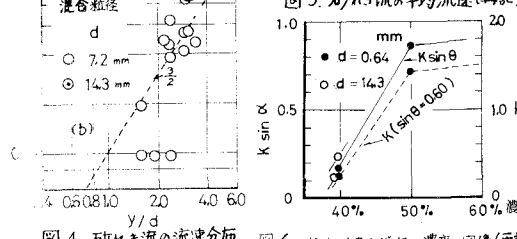


図5. 砂れき流の摩擦係数